

Espectroscopia de absorção de raios X

XAS: X-ray Absorption Spectroscopy XAFS: X-ray Absorption Fine-Structure XAS: Caracterização experimental de materiais em volume (bulk) e de filmes finos por meio das espectroscopias de absorção de raios X, conhecidas como

X-ray Absorption Near-Edge Structure (XANES) e Extended X-ray Absorption Fine Structure (EXAFS)

• Aspectos básicos: Apresentação geral do fenômeno de absorção, que permite o estudo da ordem atômica e coordenação química de átomos selecionados. Desenvolvimento histórico da técnica de XAS. Determinação da função de absorção: aproximação de onda plana para um elétron espalhado. Parâmetros estruturais. Parâmetros eletrônicos. Exemplos de espectros XAS de metais e óxidos.

Aspectos básicos (referências)

·Matt Newville

Consortium for Advanced Radiation Sources University of Chicago

·Valmor R. Mastelaro

Instituto de Física de São Carlos, USP

·Giorgio Margaritondo

"Introduction to Synchrotron Radiation"

·B.K. Teo

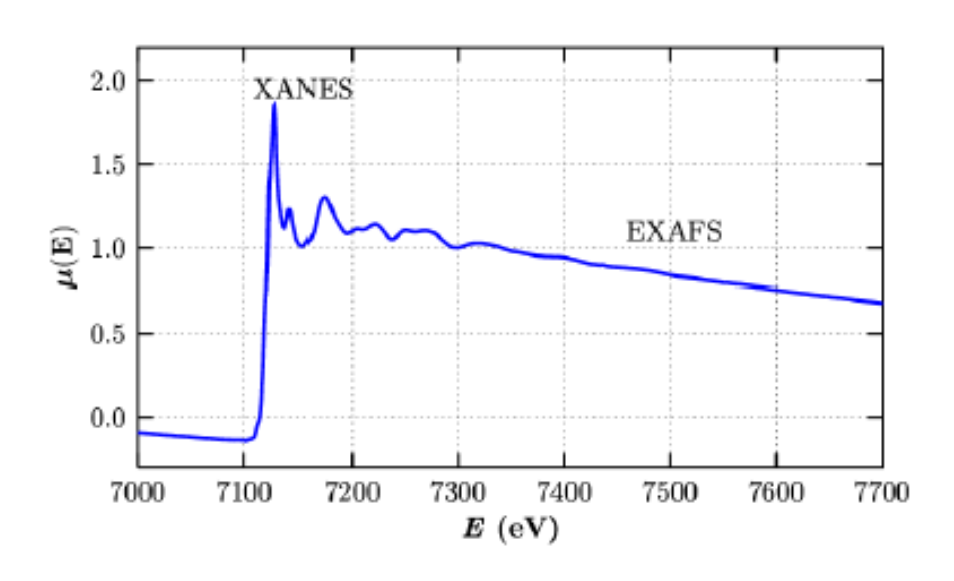
"EXAFS: Basic principles and data analysis"

O que é XAFS?

X-ray Absorption Fine-Structure (XAFS) é a modulação do coeficiente de absorção para raios X em energias próximas e acima de uma borda de absorção de raios X. XAFS também é chamada de X-ray Absorption Spectroscopy (XAS) e é dividida em 2 regimes:

XANES X-ray Absorption Near-Edge Spectroscopy
EXAFS Extended X-ray Absorption Fine-Structure,
que contêm informação um pouco diferente sobre a coordenação local de um elemento e seu estado químico.

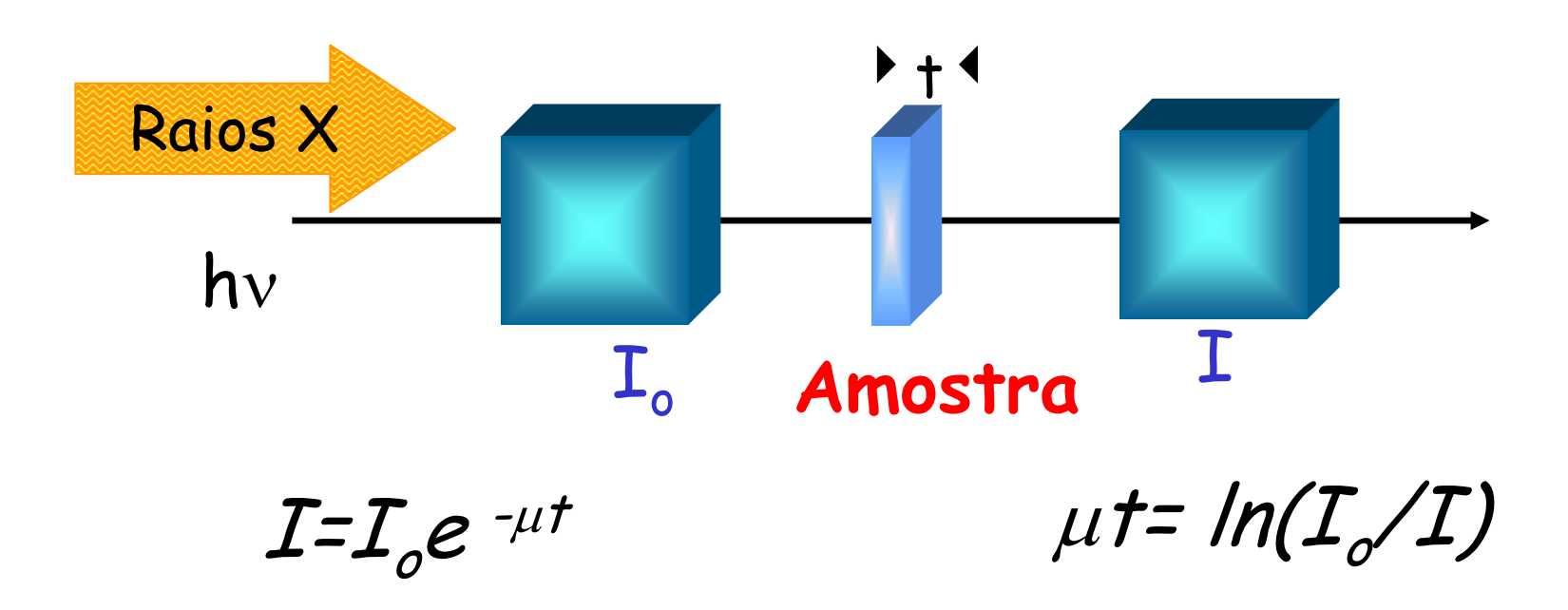
Borda K do Fe, XAFS de FeO:



Características XAFS

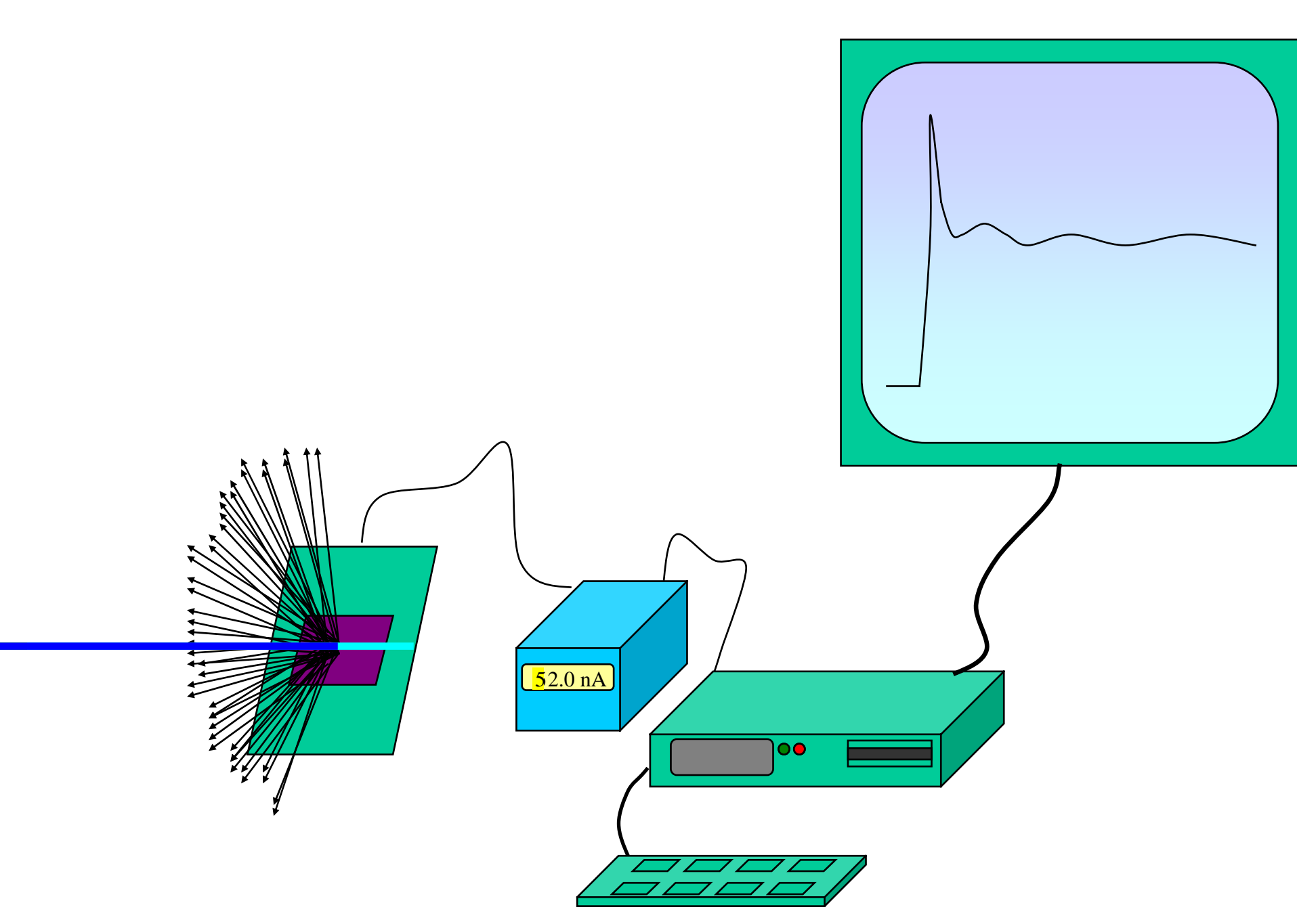
- coordenação atômica local
- · estado químico e oxidação
- · aplica-se a qualquer elemento
- funciona a baixas concentrações

Medida de absorção



Medidas de μ (E) como função de λ

$$E=hc/\lambda$$



A absorção de raios X passando pela matéria ocorre através de 3 processos:

- · Espalhamento
- · Absorção fotoelétrica ————— EXAFS
- · Produção de pares (Auger)
 - Completa absorção dos fótons que dão sua energia aos elétrons.
 - * A intensidade da luz transmitida decresce à medida que os fótons passam pela matéria.

A perda de intensidade é dada pela lei de Lambert-Beer:

$$I=I_o.e^{-\mu t}$$

Breve História

•Röntgen (1895) Descoberta dos raios X

·M. de Broglie (1913) Primeira medida de um espectro de absorção

•Fricke (1920) Primeira observação da estrutura fina

•Kossel (1920) Primeira teoria do fenômeno

•Kronig (1931) Teoria mais completa

·Hayasi (1949), Sawada,

·Shiraiwa (1958) Relação entre teoria e experimento

Kostarev and Kolenkov

Jonhston, Tomboulian Primeiro espectro de absorção medido com radiação (1954) síncrotron

Lytle (1962)
 Primeiro artigo usando o nome EXAFS

·Sayers, Stern (1968-74) Teoria moderna, transformada de Fourier do sinal EXAFS Lytle radiação síncrotron (SSRL)

Ref: R. Stumm, Ann. Phys. Fr 14, 377 (1989) - J. Sync. Rad. 6, 123 (1999);5 (1998)

Nomenclatura

XAS: X-Ray Absorption Spectroscopy

XAFS: X-Ray Absorption Fine Structure

EXAFS: Extended X-Ray Absorption Fine Structure

XANES (NEXAFS): X-Ray Absorption Near Edge Structure

SEXAFS: Surface Extended X-Ray Absorption Fine Structure

REFLEXAFS: Reflection X-Ray Absorption Fine Structure

EXELFS: Extended Energy Loss Fine Structure (TEM)

Princípio básico

- Descrição teórica do fenômeno de absorção requer o uso da Mecânica Quântica fótons de ultra-violeta e de raios X promovem transições ópticas dos elétrons de um estado fundamental para um estado excitado.
- $h_V = E_f E_i$ (energia absorvida do fóton) as transições ópticas envolvem o elétron e o princípio da exclusão de Pauli. Requer que o estado final esteja desocupado antes da transição ocorrer.
- Probabilidade de uma transição óptica : $P_{if} \alpha |\langle \psi_i | r_A | \psi_f \rangle|^2$, onde as funções de onda de Schrödinger estão definidas e r_A é a projeção do vetor posição do elétron na direção do vetor polarização do fóton. (P_{if} = 0 implica em transições proibidas: regras de seleção)
- A contribuição de cada transição óptica ao coeficiente de absorção total é proporcional à probabilidade correspondente.
- O estudo de μ (hv) dá informação sobre os estados inicial e final, o que é possível com o uso da radiação síncrotron.

Regra de ouro de Fermi

Aproximação de dipolo: o comprimento de onda dos fótons é muito maior que a largura do estado inicial.

$$\mu \approx |\langle i \mid H \mid f \rangle|^2 \delta (E_i - E_f - hv)$$

 μ = Coeficiente de absorção (MODULADO)

 \mid i \mid e \mid f \mid estados eletrônicos relacionados às energias E_{i} e E_{f}

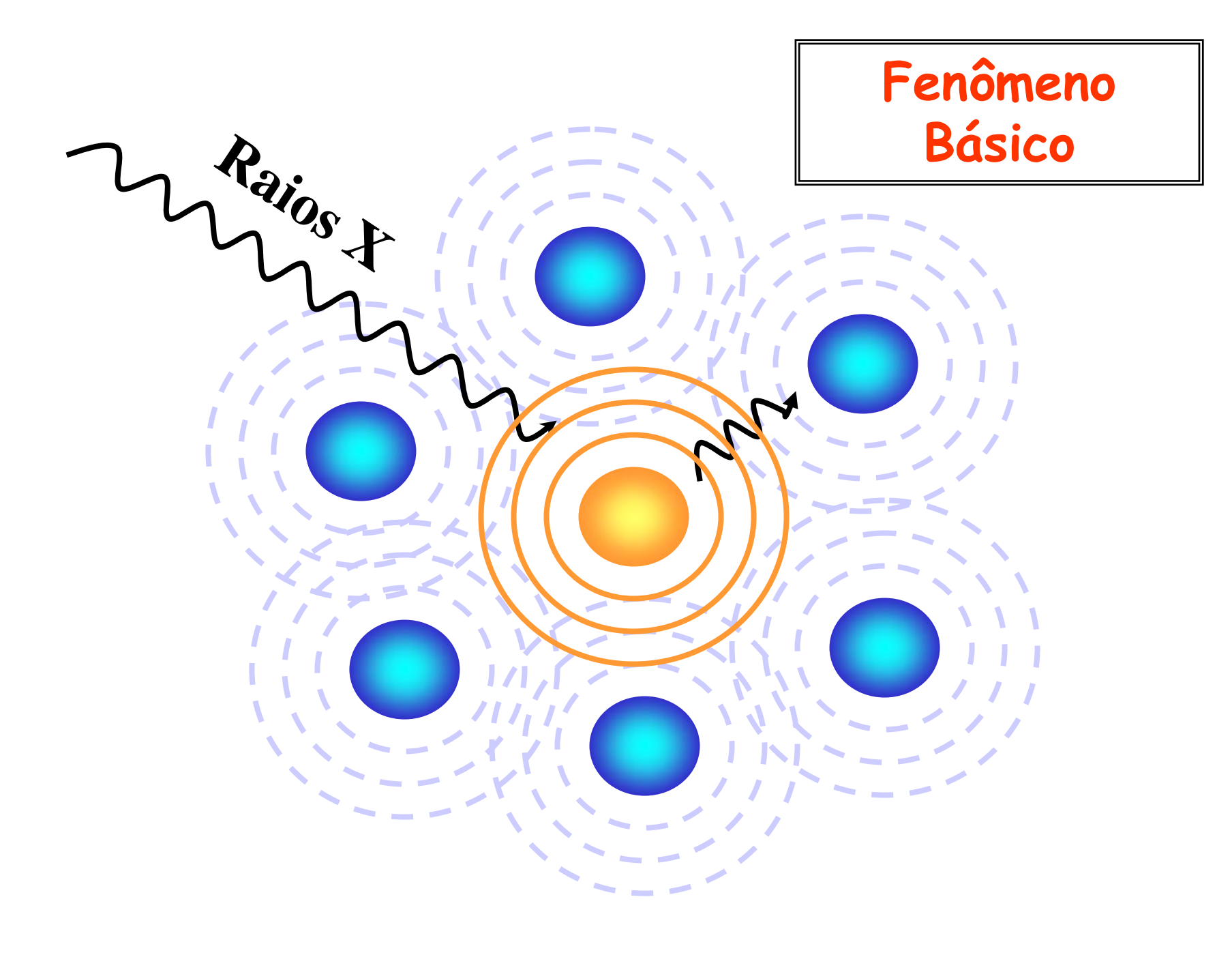
H = Hamiltoniana que descreve a interação entre o fóton e o átomo absorvedor ($H = \vec{\epsilon} \cdot \vec{r}$ na aproximação de dipolo)

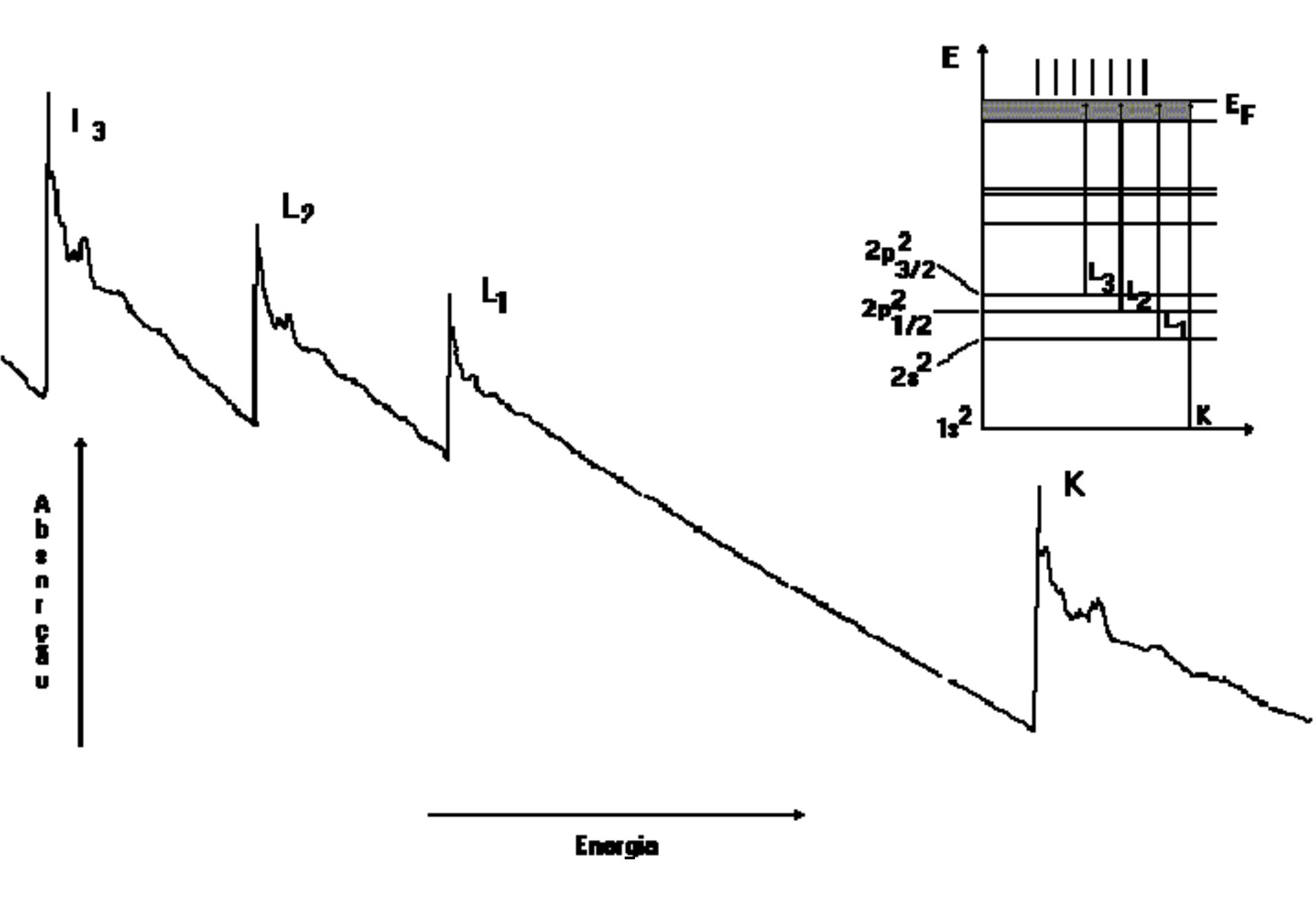
- ε vetor polarização do campo elétrico
- r vetor posição

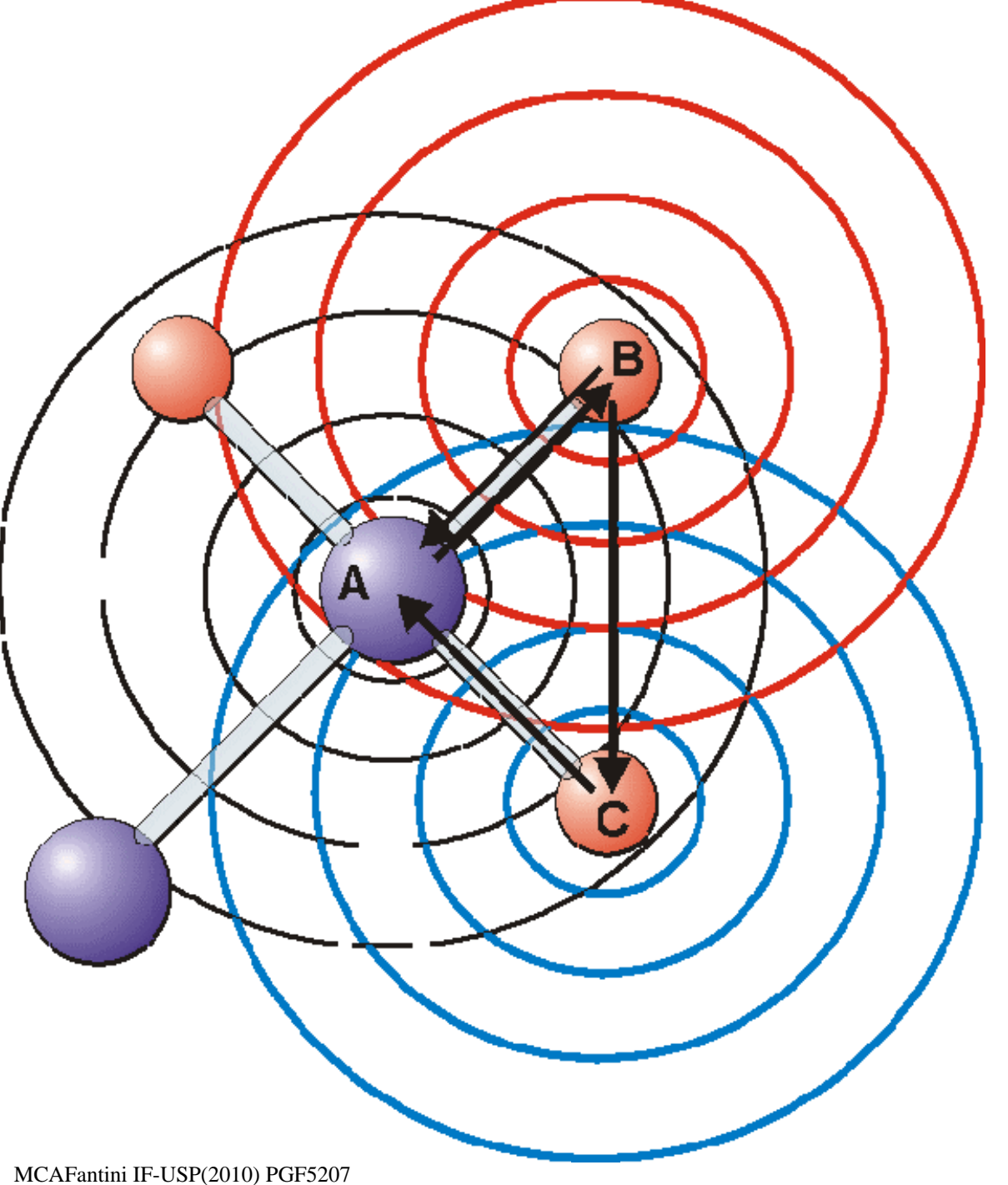
Fenômeno Básico

Além da estrutura próxima à borda, o coeficiente de absorção de sólidos e moléculas exibem estrutura numa região espectral que se estende várias centenas de elétron-volt acima da energia da borda. Esta estrutura estendida é causada por efeitos de interferência na função de onda do elétron excitado. A função de onda, que se propaga, afastando-se do átomo onde a excitação ocorreu, é parcialmente refletida por cada átomo da vizinhança.

A interferência entre a onda que deixa o átomo e as ondas retro-espalhadas produzem a estrutura estendida do coeficiente de absorção.

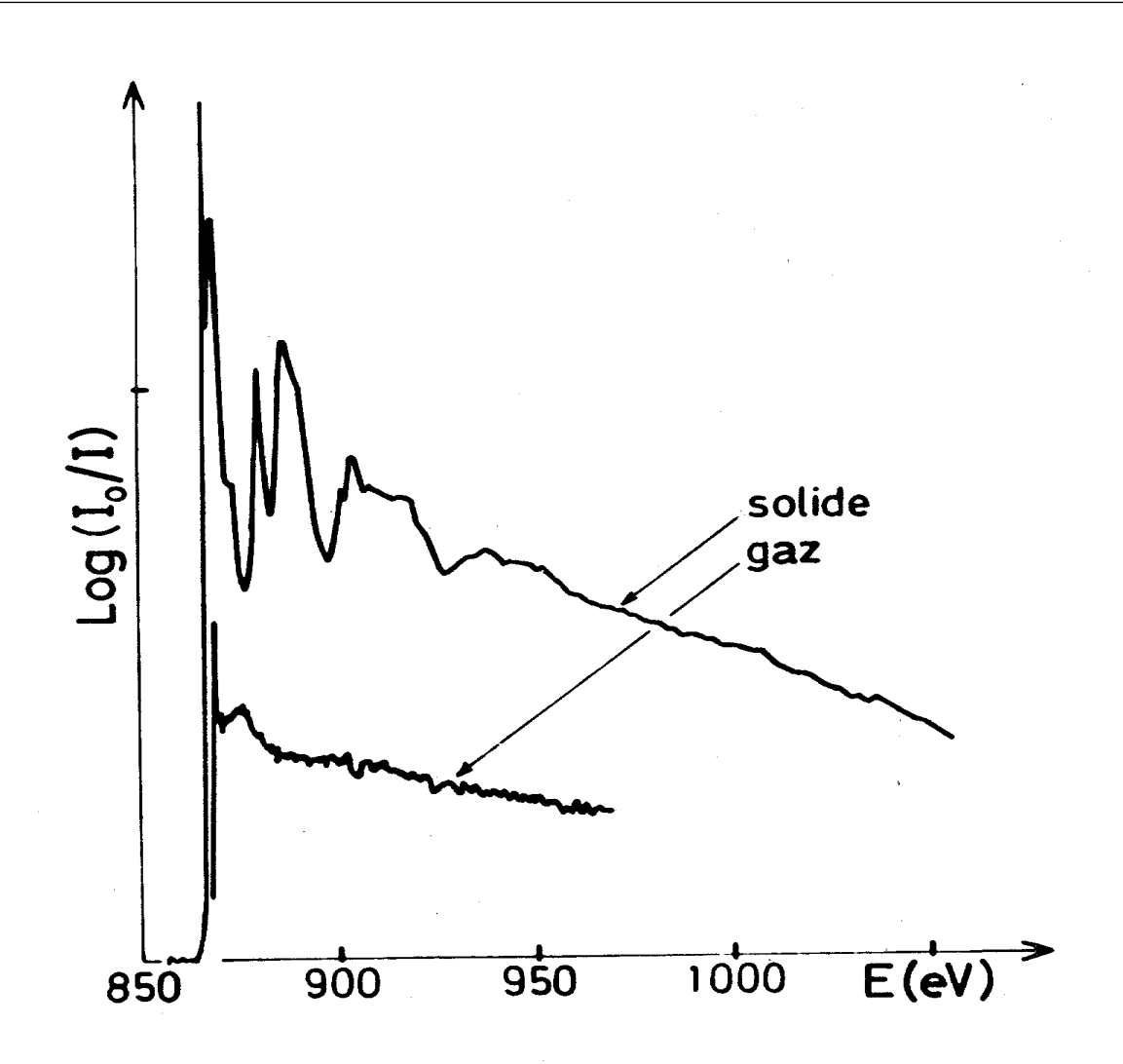






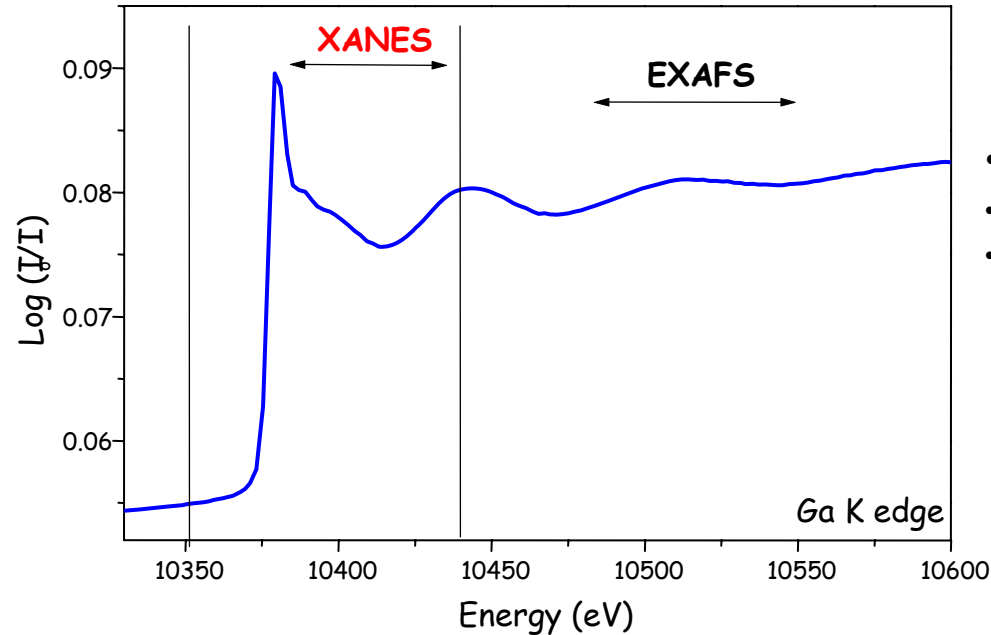
Espalhamento da função de onda gerada em A pelos vizinhos B e C.

Efeito causado pelos átomos vizinhos: Espectro de absorção do Ne (borda K) como gás e sólido



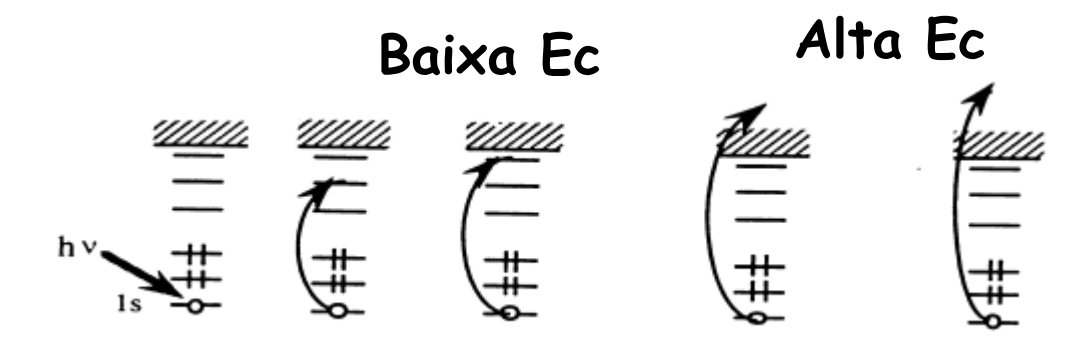
XANES

- ·Simetria do sítio
- ·Estado químico



EXAFS

- Número de cordenação
- · Distância média de ligação
- · Desordem estrutural

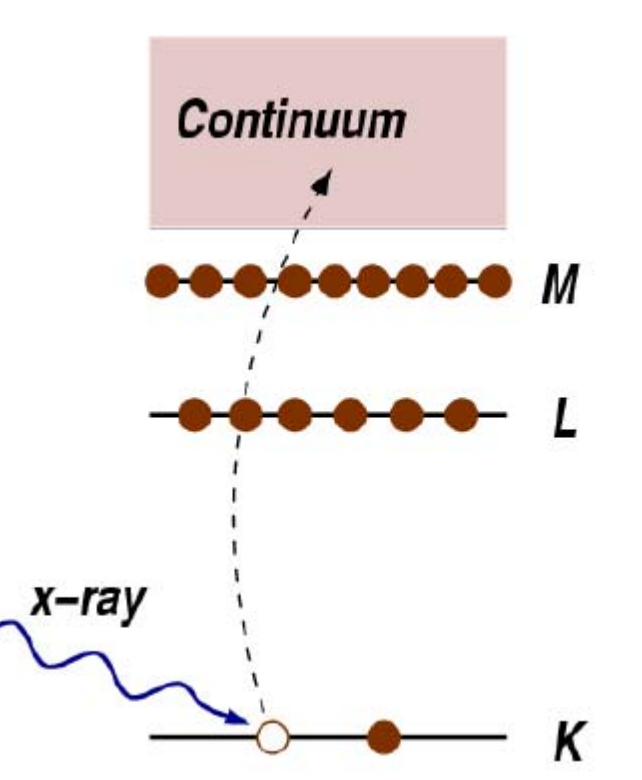




Transições para níveis discretos Contínuo

Absorção de raios X

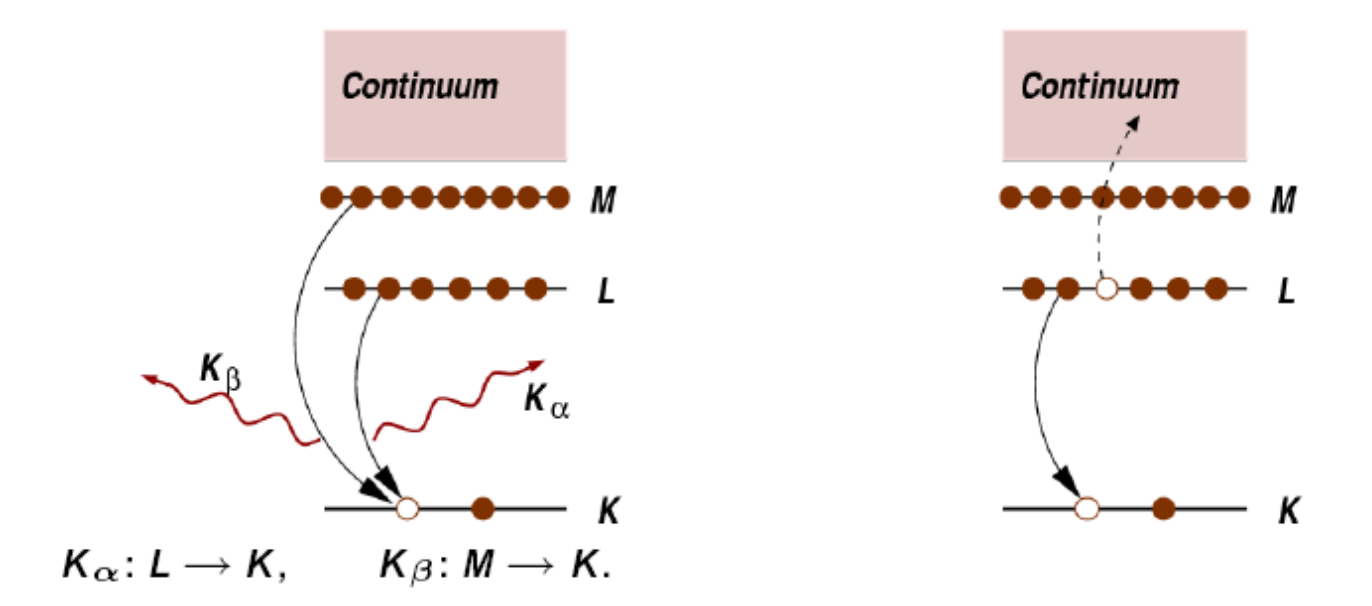
- •Raios X (luz com comprimento de onda $0.03 < \lambda < 12$ Å ou energia 1 < E < 500 keV) são absorvidos por toda matéria através do *efeito* foto-elétrico:
- •Fóton de raios X absorvido pelo átomo promove um elétron de caroço (camadas K, L, ou M) para fora do átomo e para o contínuo.
- •O átomo é deixado num estado excitado com um nível eletrônico vazio (um buraco de caroço).
- ·O elétron ejetado do átomo é chamado de *foto-elétron*.



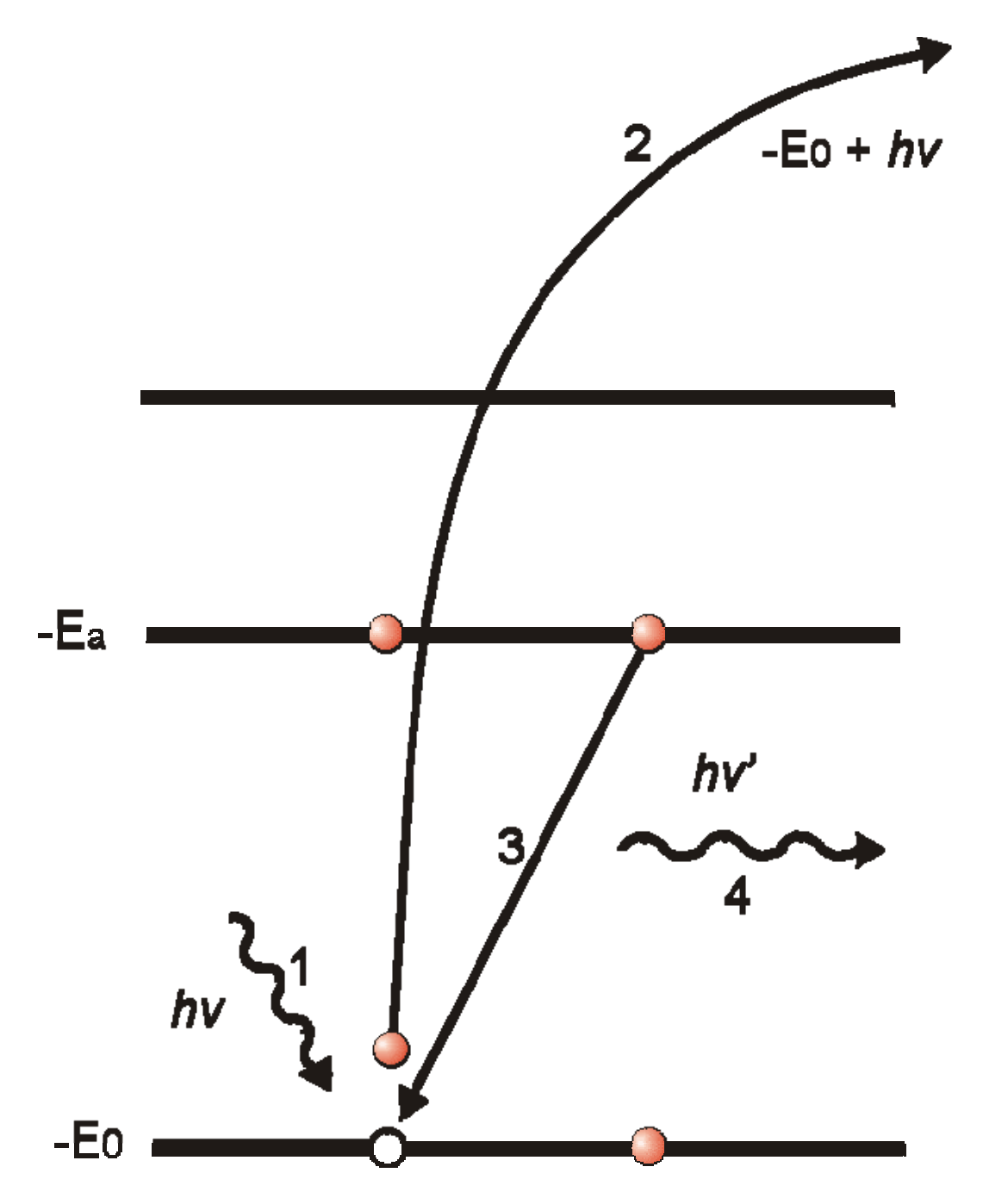
Fluorescência de raios X

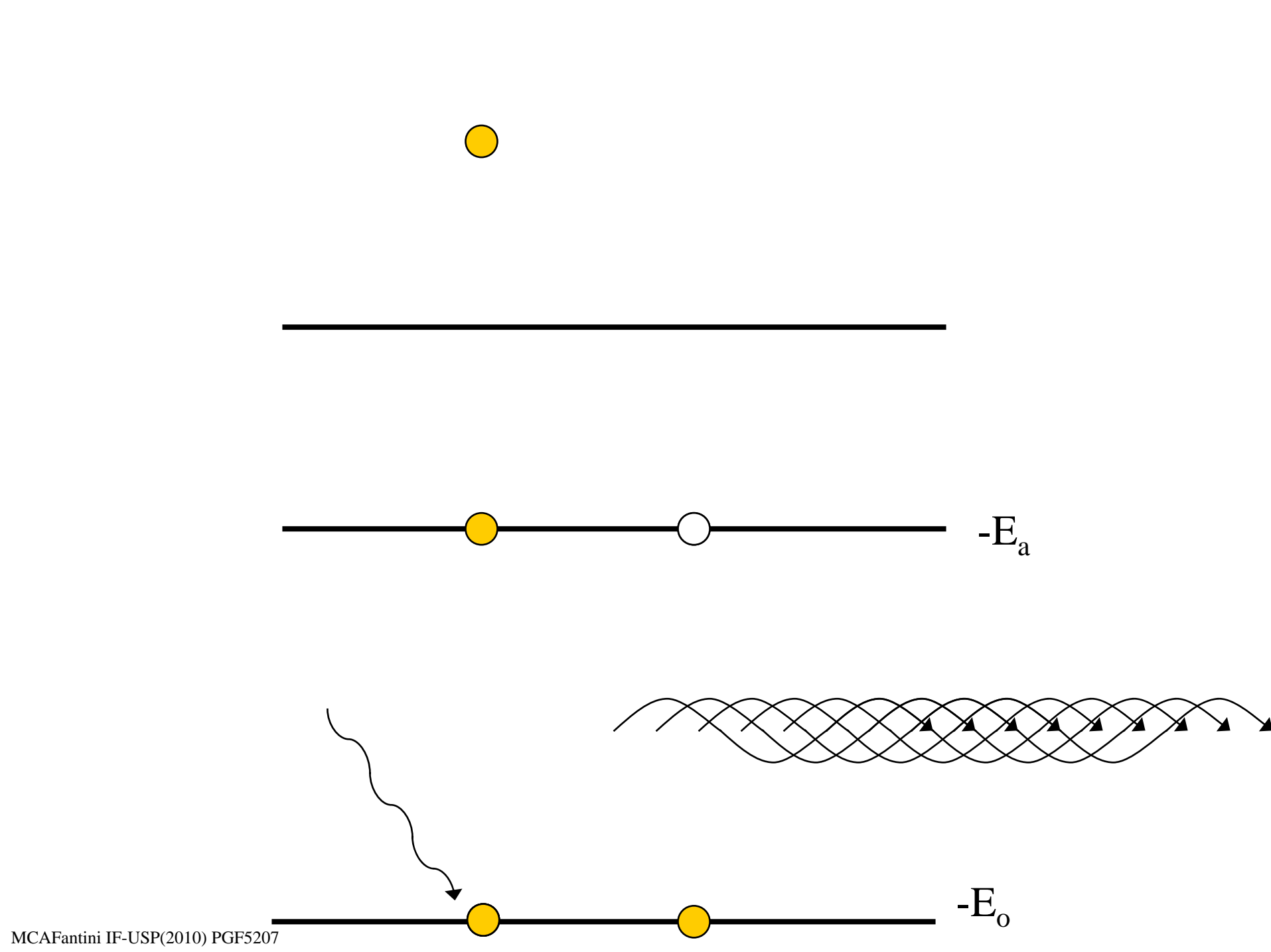
Quando raios X são absorvidos por efeito foto-elétrico, o buraco de caroço excitado relaxa de volta ao "estado fundamental" do átomo. Um elétron de caroço de nível mais alto decai para o buraco de caroço, e um raio X fluorescente ("livre caminho maior" = baixas concentrações) ou um elétron Auger (TEY) é emitido. Fluorescência de raios X: Um raio X com energia = diferença dos níveis de caroço é emitida.

Efeito Auger: Um elétron é promovido para o contínuo de um outro nível de caroço.



Fluorescência de raios X ocorre em energias discretas, que são características do átomo absorvedor, e podem ser usadas para identificar o átomo absorvedor.





Coeficiente de absorção para raios X: µ

A intensidade de um feixe de raios X à medida que ele passa através de um material de espessura t é dada pelo coeficiente de absorção µ:

$$\mathbf{I} = \mathbf{I}_0 \mathbf{e}^{-\mu \mathbf{t}}$$
 I_0

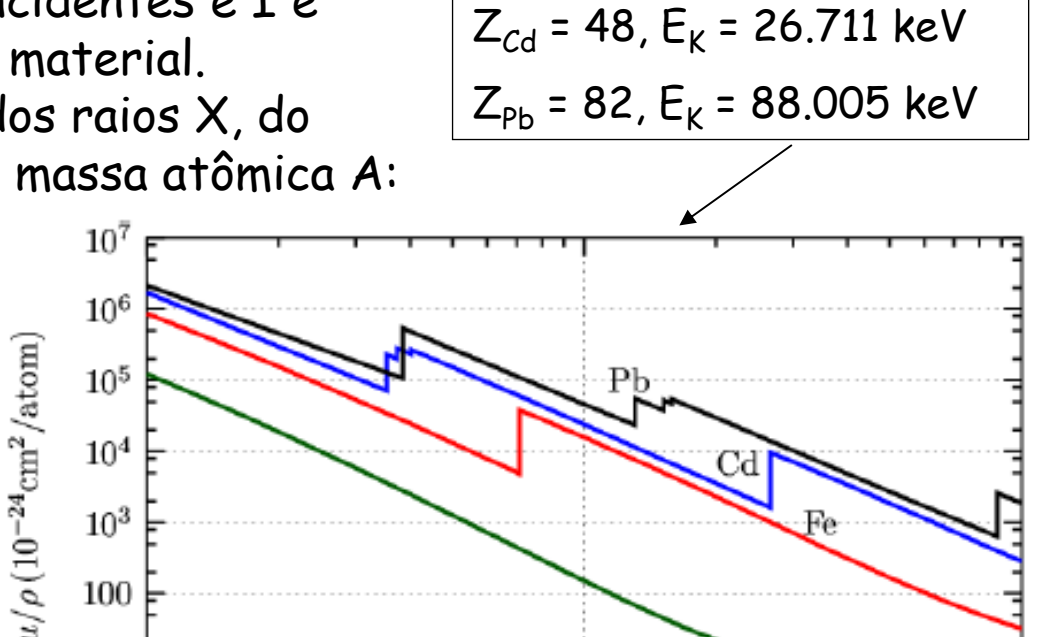
onde I_o é a intensidade dos raios X incidentes e I é a intensidade transmitida através do material. μ depende fortemente da energia E dos raios X, do número atômico Z, da densidade e da massa atômica A:

100

10

$$\mupproxrac{
ho {f Z^4}}{{f A}{f E}^3}$$

Além disso, µ tem Bordas de aborção abruptas, que correspondem às energias características dos níveis de caroço do átomo.



10

Energy (keV)

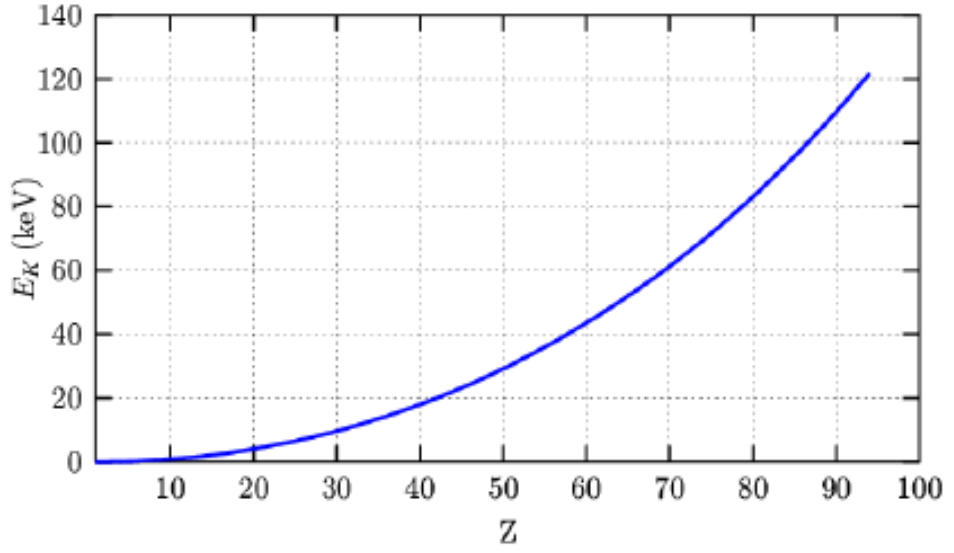
 $Z_O = 8$, $E_K = 0.5431$ keV

 $Z_{Fe} = 26$, $E_{K} = 7.112$ keV

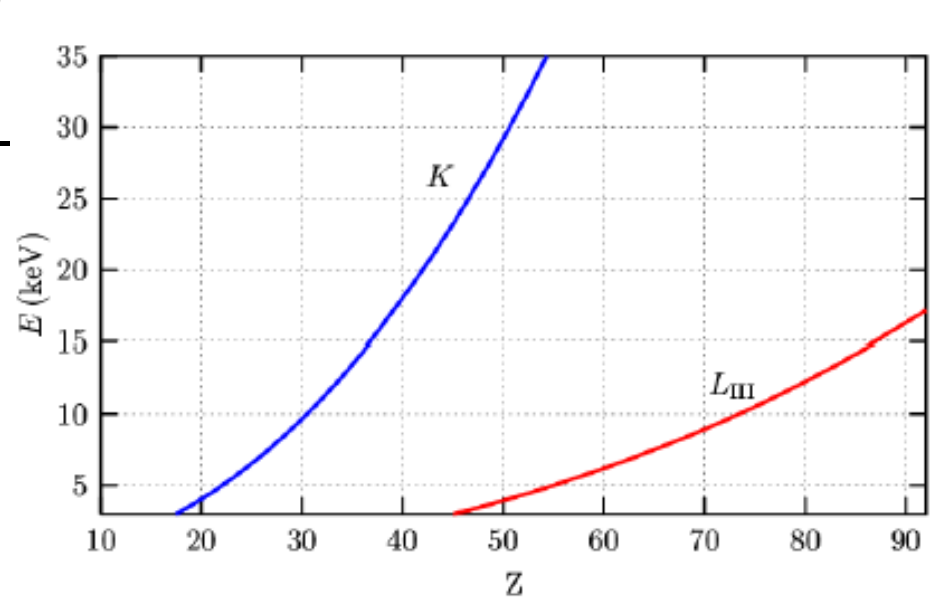
100

Energias da borda de absorção

As energias da borda K de absorção dependem aproximadamente da forma $E_{\kappa} \sim Z^2$



Todos os elementos com Z > 18 têm uma borda K ou L entre 3 e 35 keV, a qual pode ser acessada em muitas fontes síncrotron.

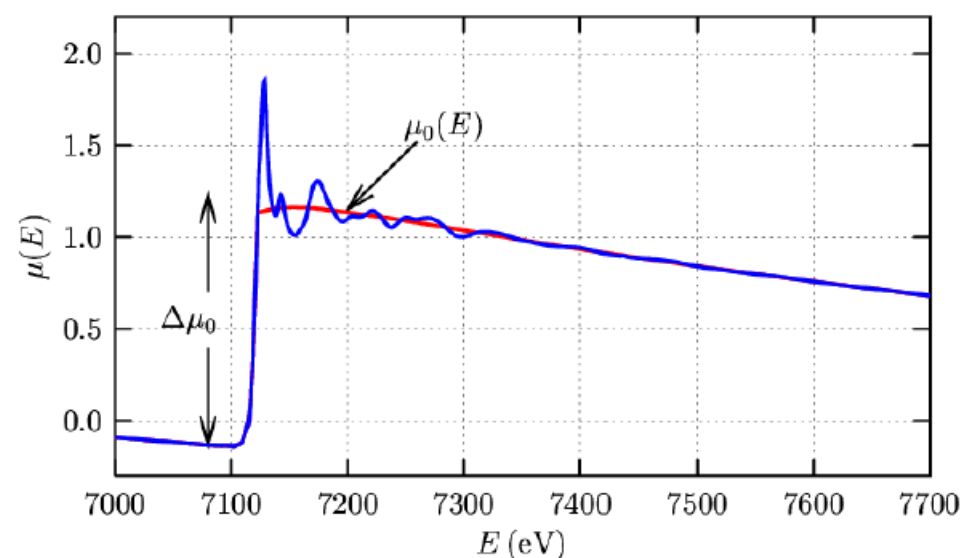


Estrutura fina de absorção de raios X

Estamos interessados na dependência das oscilações com a energia em $\mu(E)$, pois isso irá nos dizer algo sobre os átomos vizinhos. EXAFS é definido como as:

$$\chi(\mathbf{E}) = \frac{\mu(\mathbf{E}) - \mu_0(\mathbf{E})}{\Delta \mu_0(\mathbf{E}_0)}$$

Subtraímos a contribuição "lisa" de *fundo do átomo isolado* $\mu_o(E)$, e dividimos pelo *degrau da borda* $\Delta\mu_o(E_o)$ para se obter as oscilações normalizadas por 1 evento de absorção:



MCAFantini IF-USP(2010) P

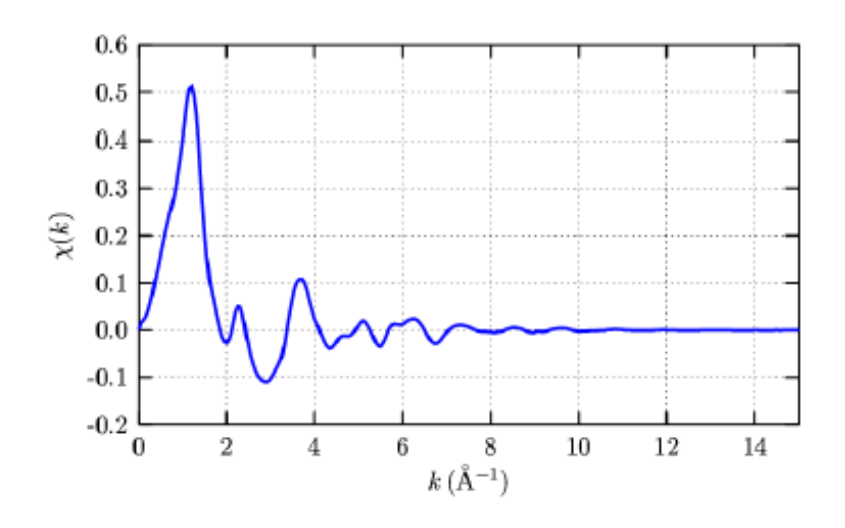
Sinal EXAFS: χ (k)

É conveniente pensar em XAFS em termos do

número de onda do foto-elétron k:

$$k = \sqrt{\frac{2m(E-E_0)}{\hbar^2}}$$

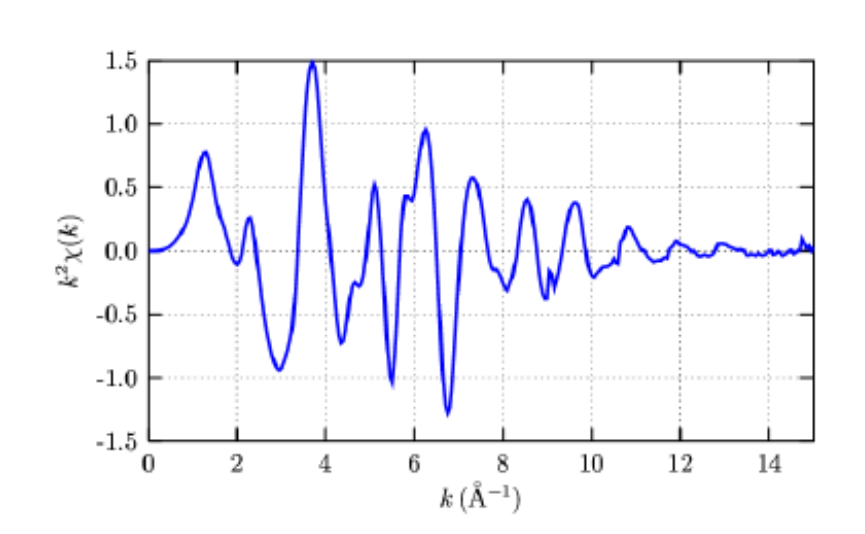
Ao invés da energia do raio X, de forma que temos: $\chi(\mathbf{k})=\chi(\mathbf{k}[\mathbf{E}])$:



 $\chi(k)$ é frequentemente ponderado por k^2 ou k^3 para ampliar as oscilações a alto k:

E é a energia do fóton e E_o é a energia de ligação do elétron.

E-E_o = energia cinética do elétron.



O elétron se comporta como um elétron livre: espalhamento simples

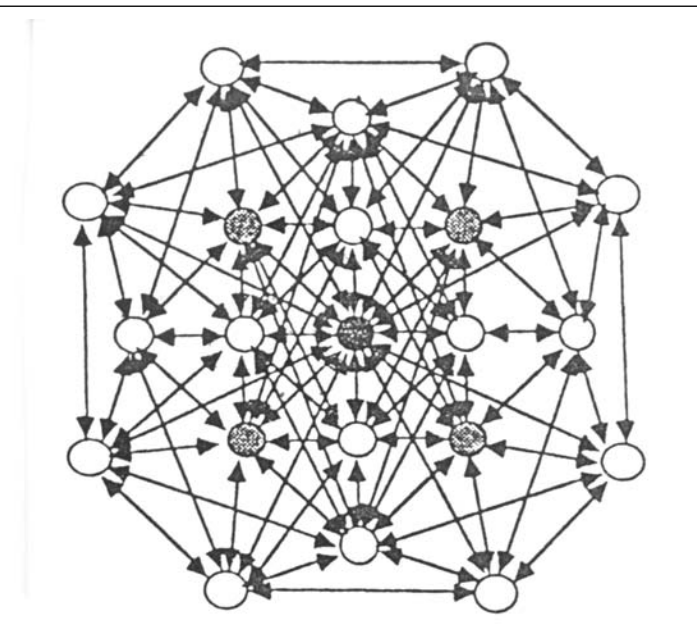
Análise EXAFS padrão

A energia do foto-elétron determina o formalismo a ser usado:

Baixa energia (XANES)

Livre caminho médio dos fotoelétrons é grande

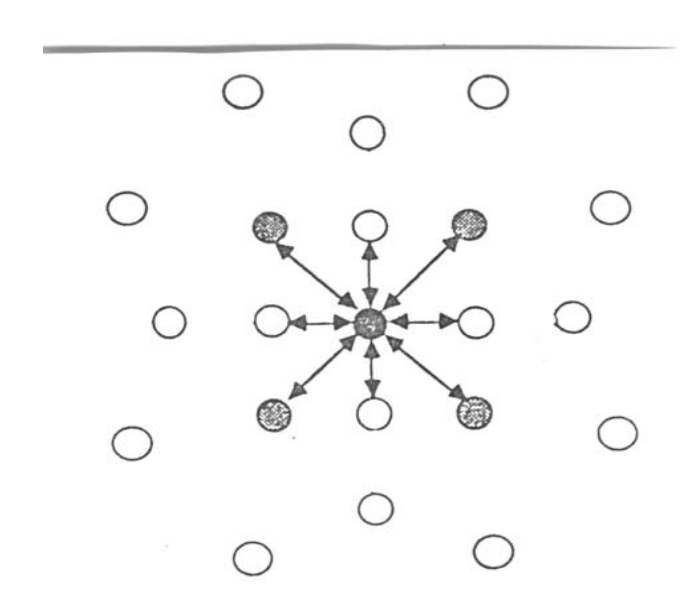
Ocorre espalhamento múltiplo



Alta energia (EXAFS)

Livre caminho médio dos fotoelétrons é pequeno

Espalhamento simples domina



A equação EXAFS

Para modelar EXAFS, usa-se a *Equação EXAFS*:

$$\chi(\mathbf{k}) = \sum\nolimits_{\mathbf{j}} \frac{N_{\mathbf{j}} f_{\mathbf{j}}(\mathbf{k}) e^{-2\mathbf{k}^2 \sigma_{\mathbf{j}}^2}}{\mathbf{k} {R_{\mathbf{j}}}^2} sin[2\mathbf{k} R_{\mathbf{j}} + \pmb{\delta_{\mathbf{j}}}(\mathbf{k})]$$

Onde f(k) e $\delta(k)$ são as propriedades de *espalhamento* do átomo vizinho. Conhecendo-as pode-se determinar:

R distância ao átomo vizinho.

N número de coordenação ao átomo vizinho.

σ² desordem média quadrática ao átomo vizinho.

A amplitude de espalhamento f(k) e a defasagem $\delta(k)$ dependem do número atômico Z do átomo espalhador.

Equação multiplicada por S_0^2 e $e^{-2R_j\lambda(k)}$ (perdas e espalhamento inelástico)

Parâmetros eletrônicos:

5°2: fator de redução devido a perdas intrínsecas

f_j(k): amplitude retro-espalhada do átomo j-ésimo

 $\delta_c(k)$: defasagem do átomo central

 $\delta_{i}(k)$: defasagem do átomo j-ésimo

 $\lambda(k)$: Livre caminho médio do foto-elétron

Parâmetros estruturais:

Ni: número de vizinhos do tipo j

R_j: distância efetiva do átomo j- ésimo

σ_j: fator de Debye-Waller relacionado com o átomo j

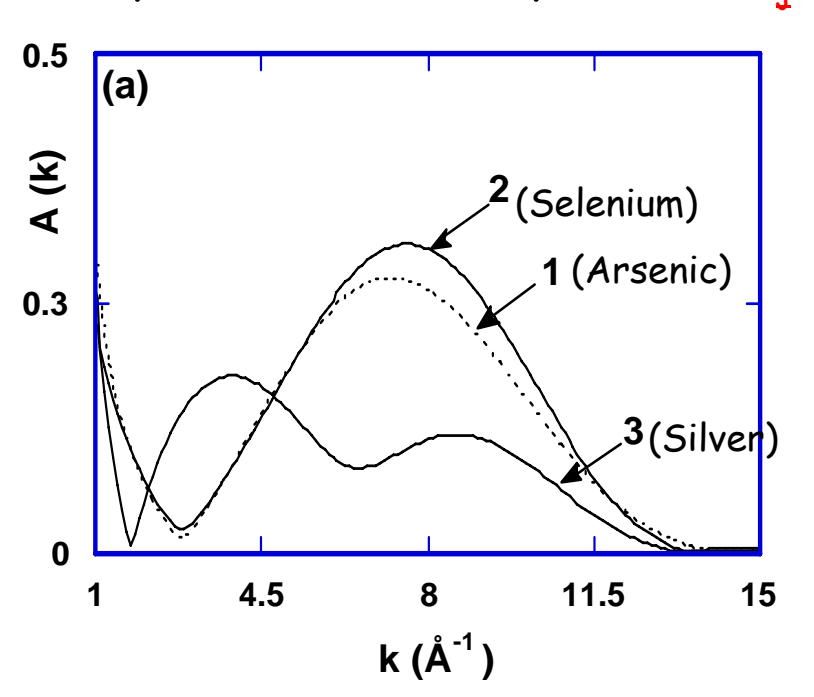
Função de fase: $2kR_j + \delta_j(k)$

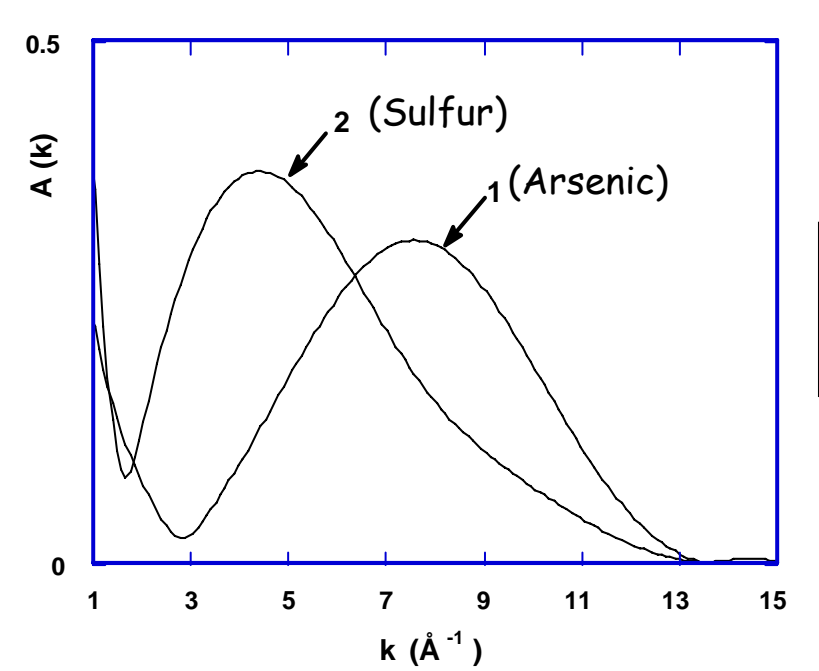
2kR_j - elétron percorre 2 vezes a distância R_j

 $\delta_j(k) = 2\alpha_1(k) + \beta_j(k)$ está relacionada com o potencial atômico do átomo absorvedor e do átomo retro-espalhador.

Valores experimentais e calculados (McKale, FEFF, etc.)

Amplitude retro-espalhada: fi(k)





S = 16 As = 33 Se = 34 Ag =47

<u>Fator de Debye-Waller σ:</u>

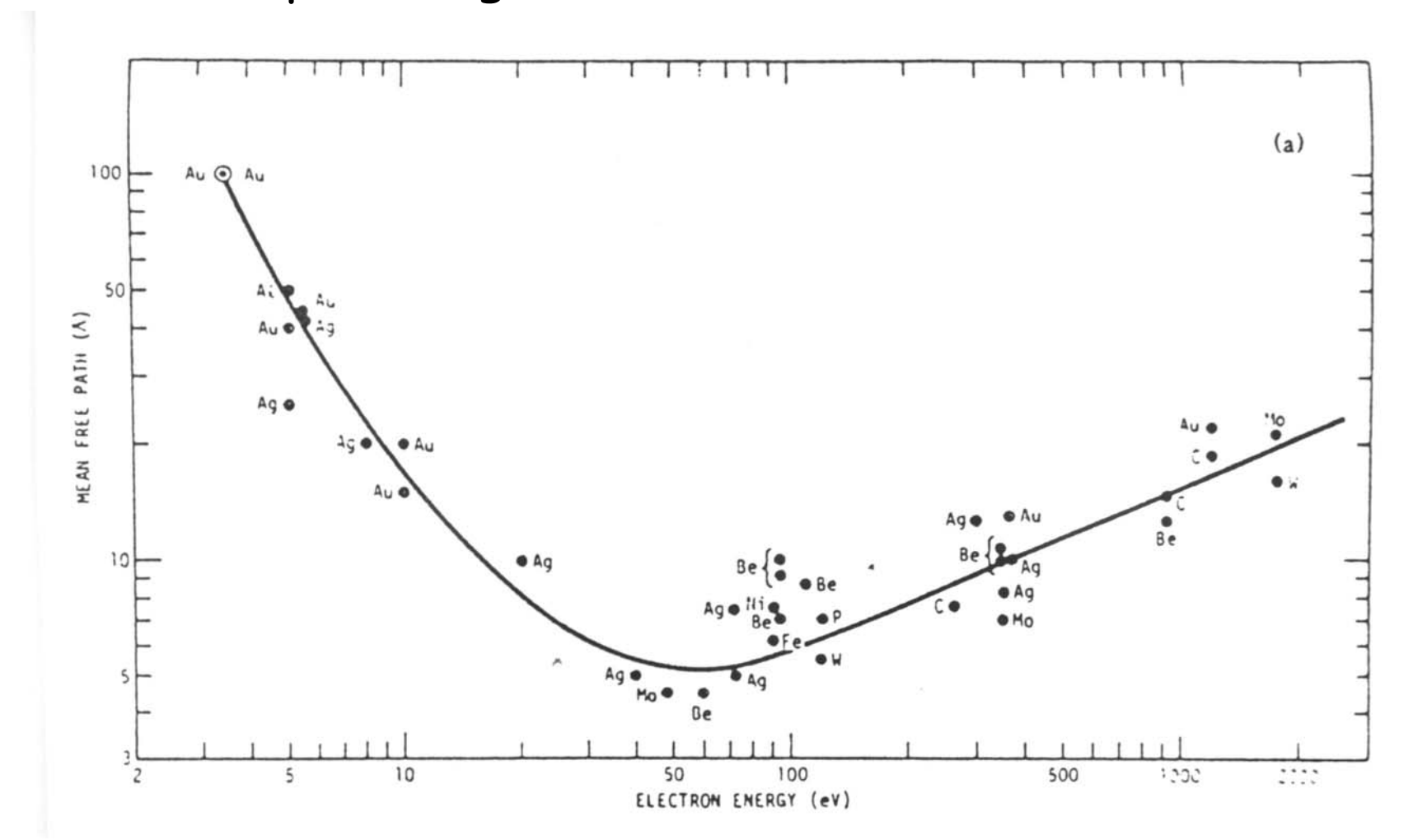
Considera a dispersão de distâncias entre os átomos vizinhos e o átomo central

$$\underline{\sigma} = \underline{\sigma}^2_{\text{stat}} + \underline{\sigma}^2_{\text{vib}}$$

- o sta está relacionado a desordem topológica
- os átomos vizinhos os átomos vizinhos
- oscilações do espectro EXAFS

 $5^{2}_{o}(k)$ - Considera o espalhamento inelástico (0.9 to 1.0)

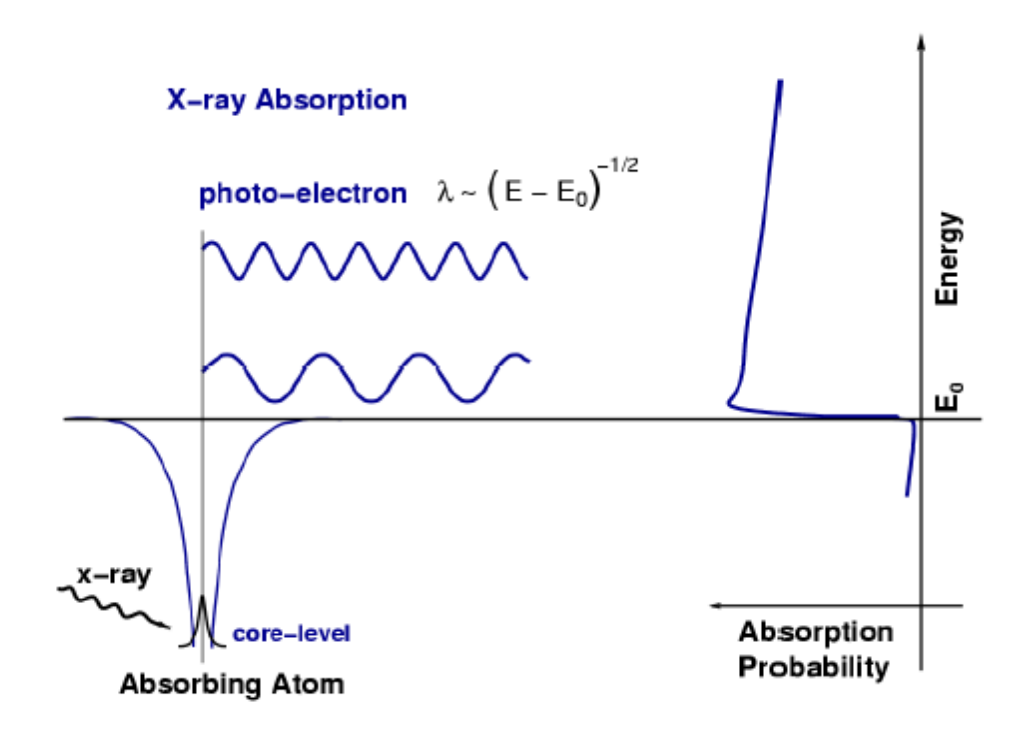
 $\lambda(k)$ - Livre caminho médio dos foto-elétrons na região de EXAFS é apenas alguns Å.



Revisão com mais detalhes

XAFS Theory: X-ray Absorption by a Free Atom

An atom absorbs and x-ray of energy E, destroying a core electron with energy E_0 and creating a photo-electron with energy $(E-E_0)$. The core level is eventually filled, and a fluorescence x-ray or an Auger electron is ejected from the atom.



x-ray absorption needs an available state for the photo-electron to go into:

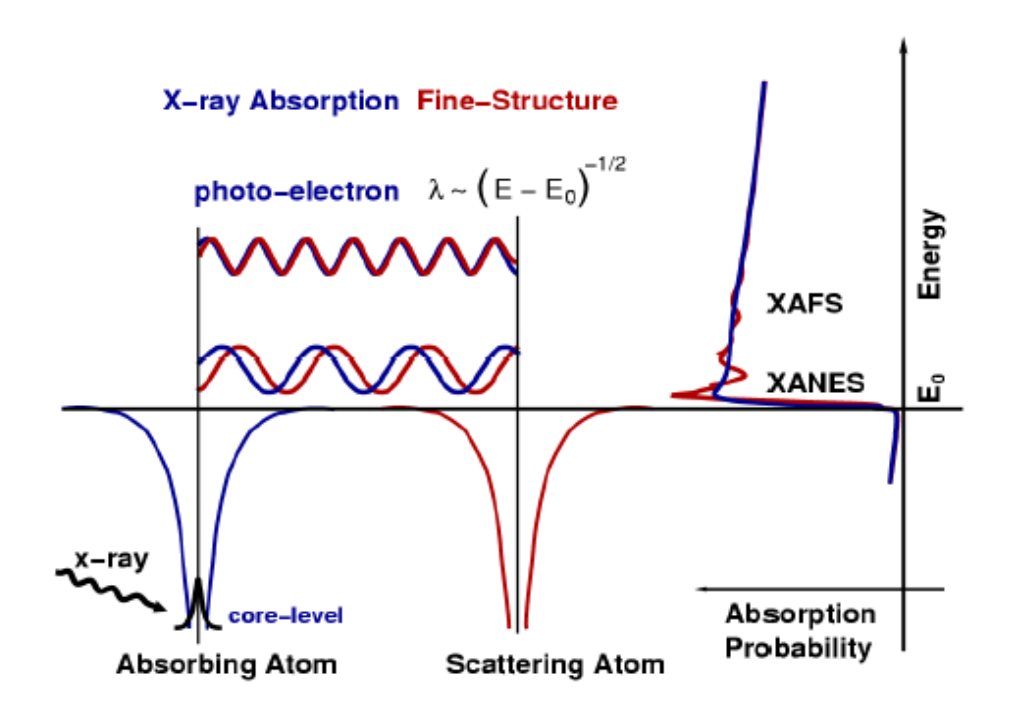
No available state: No absorption

Once the x-ray energy is large enough to promote a core-level to the continuum, there is a sharp increase in absorption.

For an isolated atom, $\mu(E)$ has a sharp step at the core-level binding energy, and is a smooth function of energy above this absorption edge.

X-ray Absorption with Photo-Electron Scattering

With another atom nearby, the ejected photo-electron can scatter from a neighboring atom and return back to the absorbing atom.



When this happens, the photo-electron scattered back will interfere with itself.

 μ depends on the presence of an electron state with energy $(E-E_0)$ and at the absorbing atom.

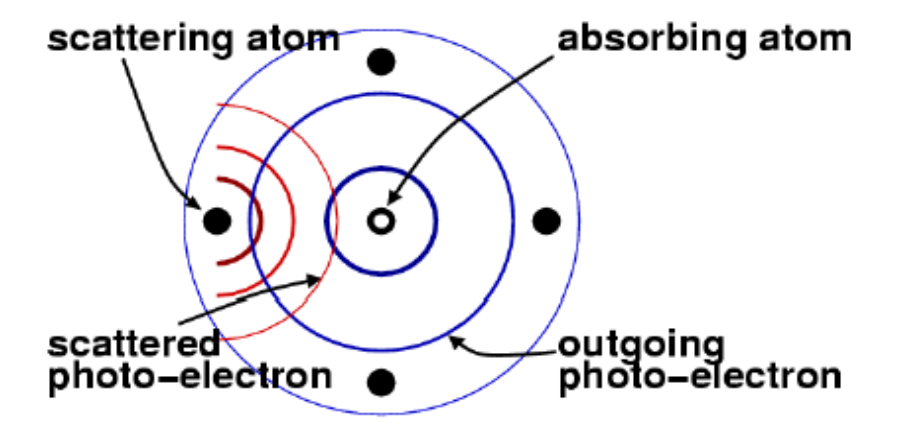
The amplitude of the back-scattered photo-electron at the absorbing atom will oscillate with energy, causing oscillations in $\mu(E)$.

The XAFS oscillations are an interference effect due to the presence of neighboring atoms.

The EXAFS Equation: simple description

Starting with $\chi \sim \psi_{\rm scatt}(0)$, we can build a simple model for the EXAFS from the photo-electron as:

- 1. leaving the absorbing atom
- 2. scattering from the neighbor atom
- 3. returning to the absorbing atom



With spherical wave e^{ikr}/kr for the propagating photo-electron, and a scattering atom at a distance r=R, we get

$$\chi(k) = \frac{e^{ikR}}{kR} \left[2kf(k)e^{i\delta(k)} \right] \frac{e^{ikR}}{kR} + \text{C.C.}_{\textit{c.c. = Complex Conjugate}}$$

where the neighboring atom gives the amplitude f(k) and phase-shift $\delta(k)$ to the scattered photo-electron.

Development of the EXAFS Equation

Combining terms (including the complex conjugate), we get

$$\chi(\mathbf{k}) = \frac{\mathbf{f}(\mathbf{k})}{\mathbf{k}\mathbf{R}^2}\mathbf{sin}[2\mathbf{k}\mathbf{R} + \boldsymbol{\delta}(\mathbf{k})]$$

for 1 scattering atom.

For ${f N}$ neighboring atoms, and with thermal and static disorder of ${f \sigma}^2$, giving the mean-square disorder in ${f R}$, we have

$$\chi(\mathbf{k}) = \frac{\mathbf{Nf}(\mathbf{k})\mathbf{e}^{-2\mathbf{k}^2\sigma^2}}{\mathbf{kR}^2}\mathbf{sin}[2\mathbf{kR} + \delta(\mathbf{k})]$$

A real system will have neighboring atom at different distances and of different type. We add all these contributions to get a version of the EXAFS equation:

$$\chi(\mathbf{k}) = \sum\nolimits_{\mathbf{j}} \frac{N_{\mathbf{j}} f_{\mathbf{j}}(\mathbf{k}) e^{-2\mathbf{k}^2 \sigma_{\mathbf{j}}^2}}{\mathbf{k} R_{\mathbf{j}}^2} sin[2\mathbf{k} R_{\mathbf{j}} + \delta_{\mathbf{j}}(\mathbf{k})]$$

The Photo-Electron Mean-Free Path

Getting to

$$\chi(\mathbf{k}) = \sum\nolimits_{\mathbf{j}} \frac{N_{\mathbf{j}} f_{\mathbf{j}}(\mathbf{k}) e^{-2\mathbf{k}^2 \sigma_{\mathbf{j}}^2}}{k R_{\mathbf{j}}^2} sin[2k R_{\mathbf{j}} + \delta_{\mathbf{j}}(\mathbf{k})]$$

we used a spherical wave for the photo-electron: $e^{i\mathbf{k}\mathbf{r}}/\mathbf{k}\mathbf{r}$. The photo-electron can also scatter *inelastically*, and may not be able to get back the absorbing atom.

Using a damped wave-function: $e^{i\mathbf{k}\mathbf{r}}e^{-\mathbf{r}/\pmb{\lambda}(\mathbf{k})}/k\mathbf{r}$

where $\lambda(\mathbf{k})$ is the photo-electron's *mean free path*, the EXAFS equation becomes:

$$\chi(\mathbf{k}) = \sum\nolimits_{\mathbf{j}} \frac{N_{\mathbf{j}} f_{\mathbf{j}}(\mathbf{k}) e^{-2R_{\mathbf{j}}/\lambda(\mathbf{k})} e^{-2\mathbf{k}^2 \sigma_{\mathbf{j}}^2}}{\mathbf{k} R_{\mathbf{j}}^2} sin[2\mathbf{k} R_{\mathbf{j}} + \delta_{\mathbf{j}}(\mathbf{k})]$$

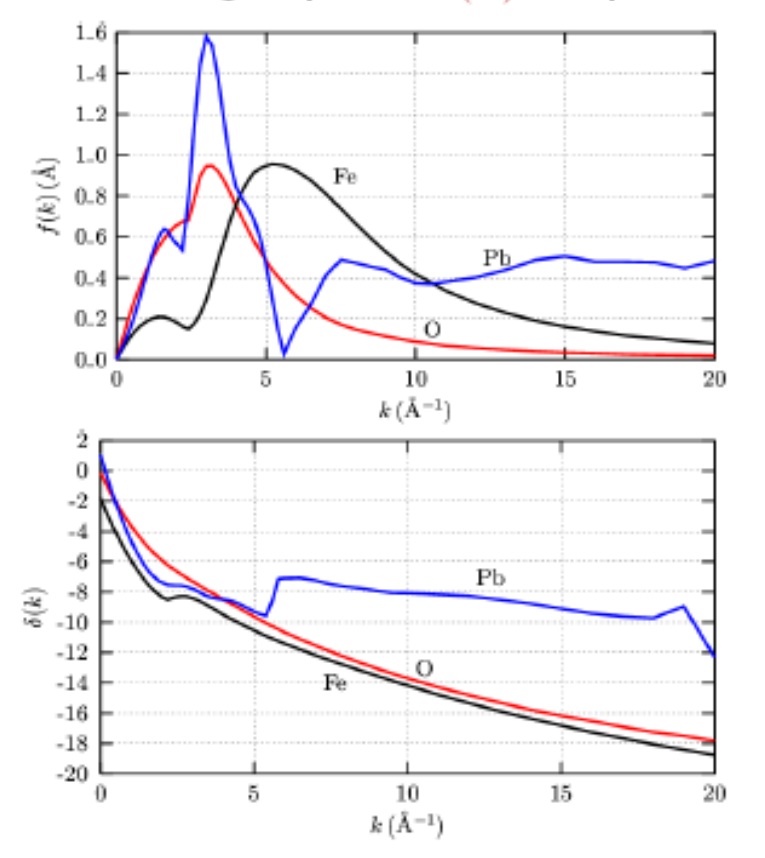
The mean-free-path is < 25 Å for much of the EXAFS range.

 λ and the R^{-2} term make EXAFS a *local atomic probe*.

45 40 35 30 (2) 25 20 15 10 5 0 5 10 15 20 k (Å-1)

Scattering Amplitude and Phase-Shift

The scattering amplitude f(k) and phase-shift $\delta_j(k)$ depend on atomic number.



The scattering amplitude f(k) peaks at different k values and extends to higher-k for heavier elements. For very heavy elements, there is structure in f(k).

The phase shift $\delta_{j}(\mathbf{k})$ shows sharp changes for very heavy elements.

These scattering functions can be accurately calculated, and used in the EXAFS modeling.

Z can usually be determined to with 5 or so. Fe and O can be distinguished, but Fe and Mn cannot be.

The EXAFS Equation

Finally we have an equation we can use to model and interpret EXAFS:

$$\chi(\mathbf{k}) = \sum_{\mathbf{j}} \frac{N_{\mathbf{j}} f_{\mathbf{j}}(\mathbf{k}) e^{-2R_{\mathbf{j}}/\boldsymbol{\lambda}(\mathbf{k})} \, e^{-2\mathbf{k}^2 \sigma_{\mathbf{j}}^2}}{\mathbf{k} R_{\mathbf{j}}^2} \mathrm{sin}[2\mathbf{k} R_{\mathbf{j}} + \textcolor{red}{\delta_{\mathbf{j}}(\mathbf{k})}]$$

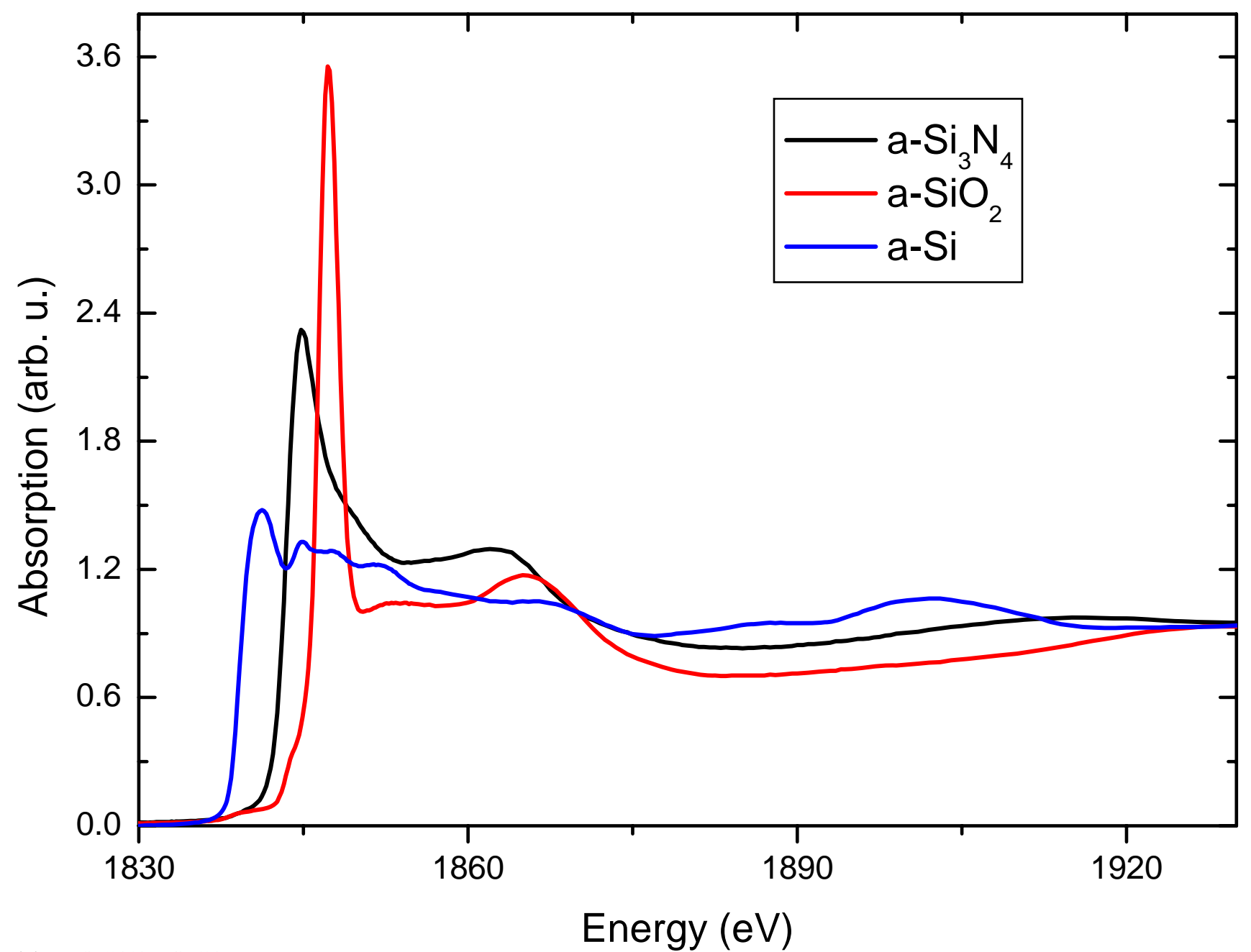
If we know the scattering properties of the neighboring atom: f(k) and $\delta_j(k)$, and the mean-free-path $\lambda(k)$ we can determine:

- R distance to neighboring atom.
- N coordination number of neighboring atom.
- σ^2 mean-square disorder of neighbor distance.

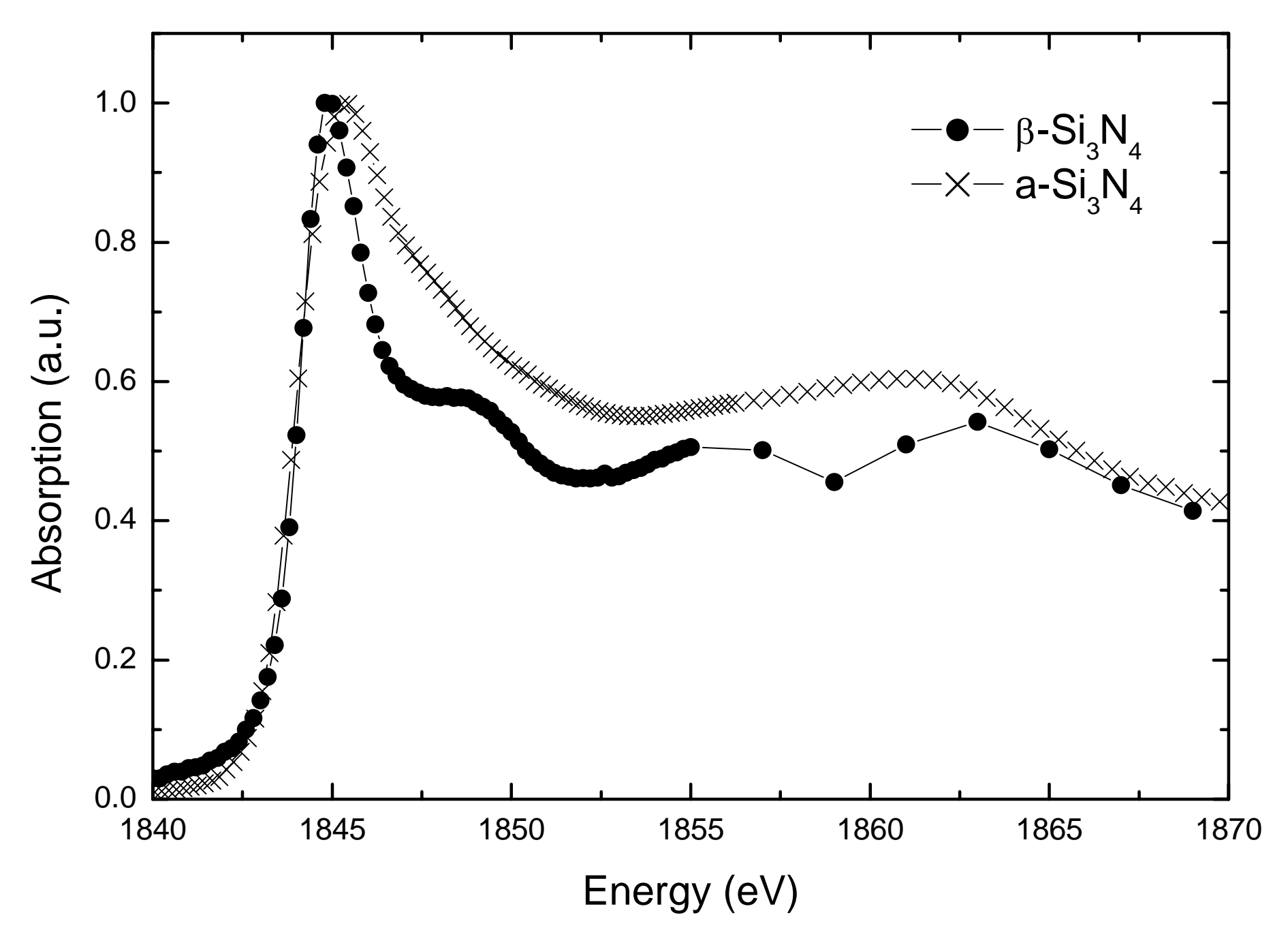
Since the scattering amplitude f(k) and phase-shift $\delta_j(k)$ depend strongly on atomic number, XAFS is also sensitive to Z of the scattering atom.

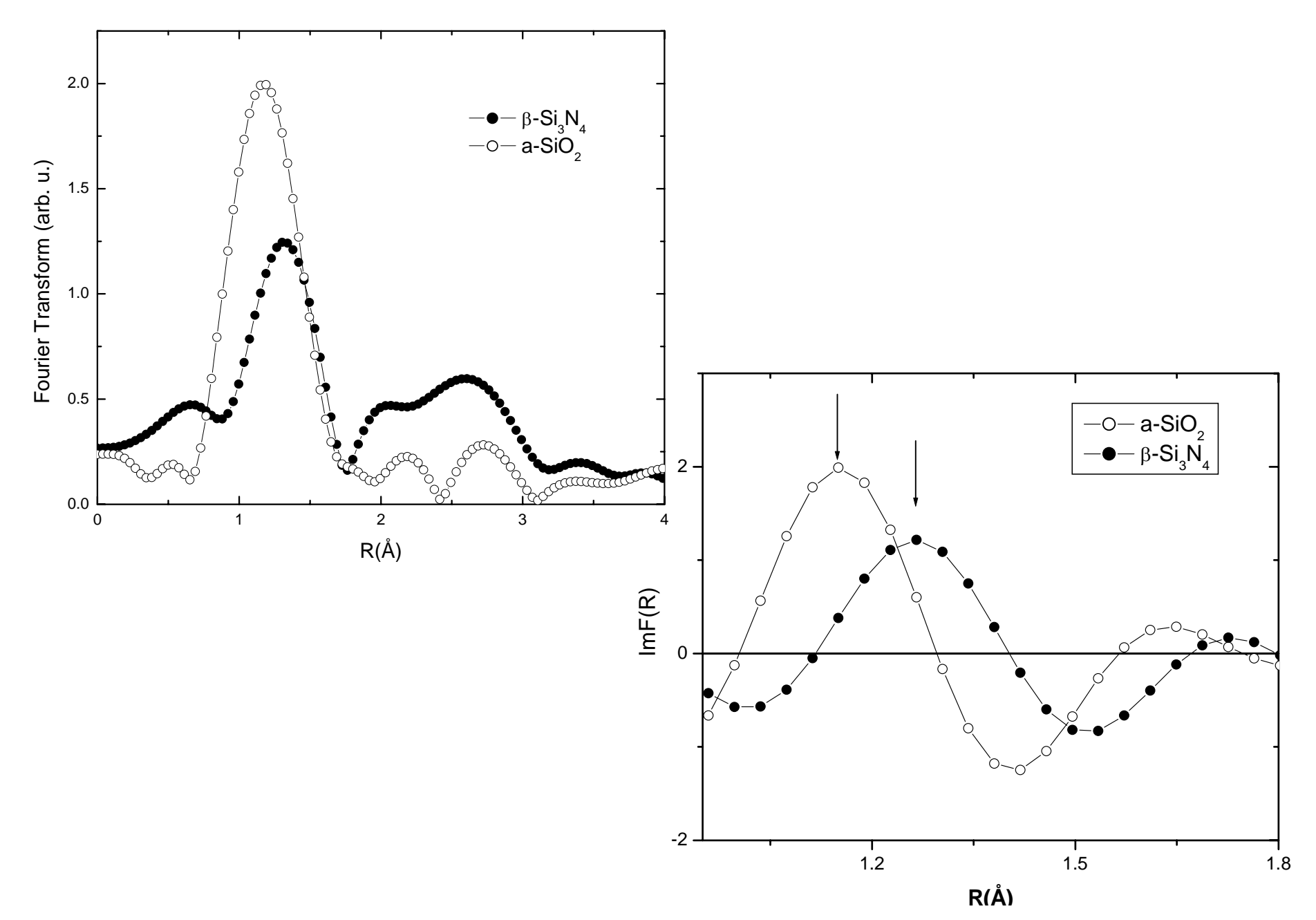
EXEMPLOS

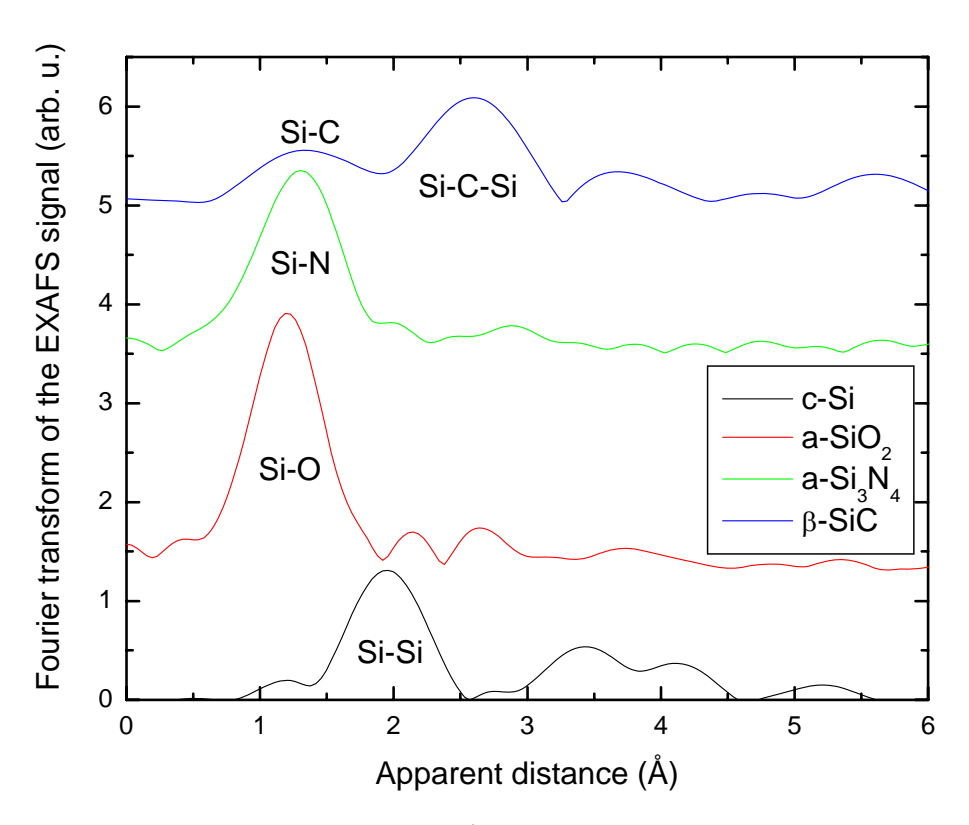
Raios X moles



MCAFantini IF-USP(2010) PGF5207



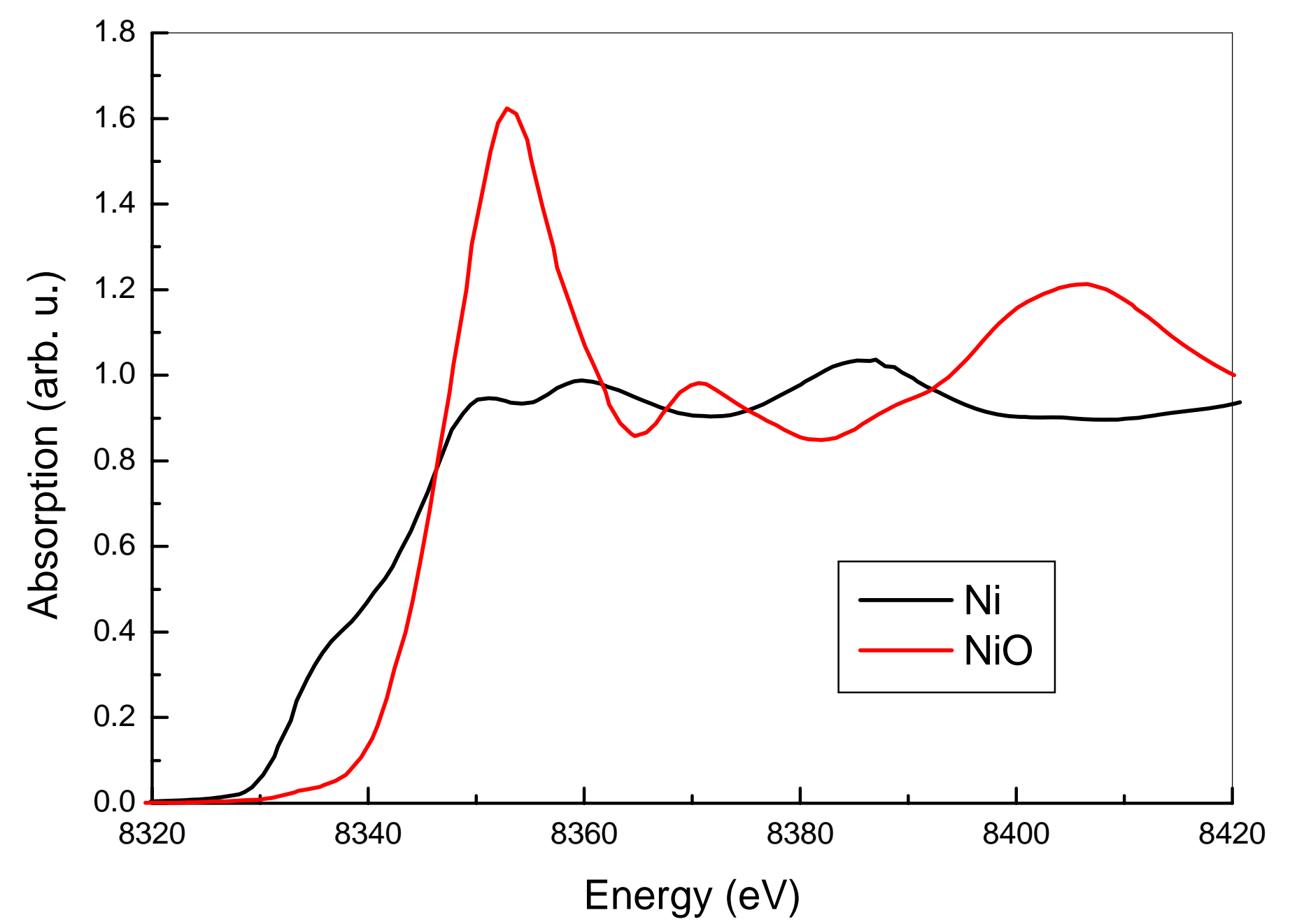


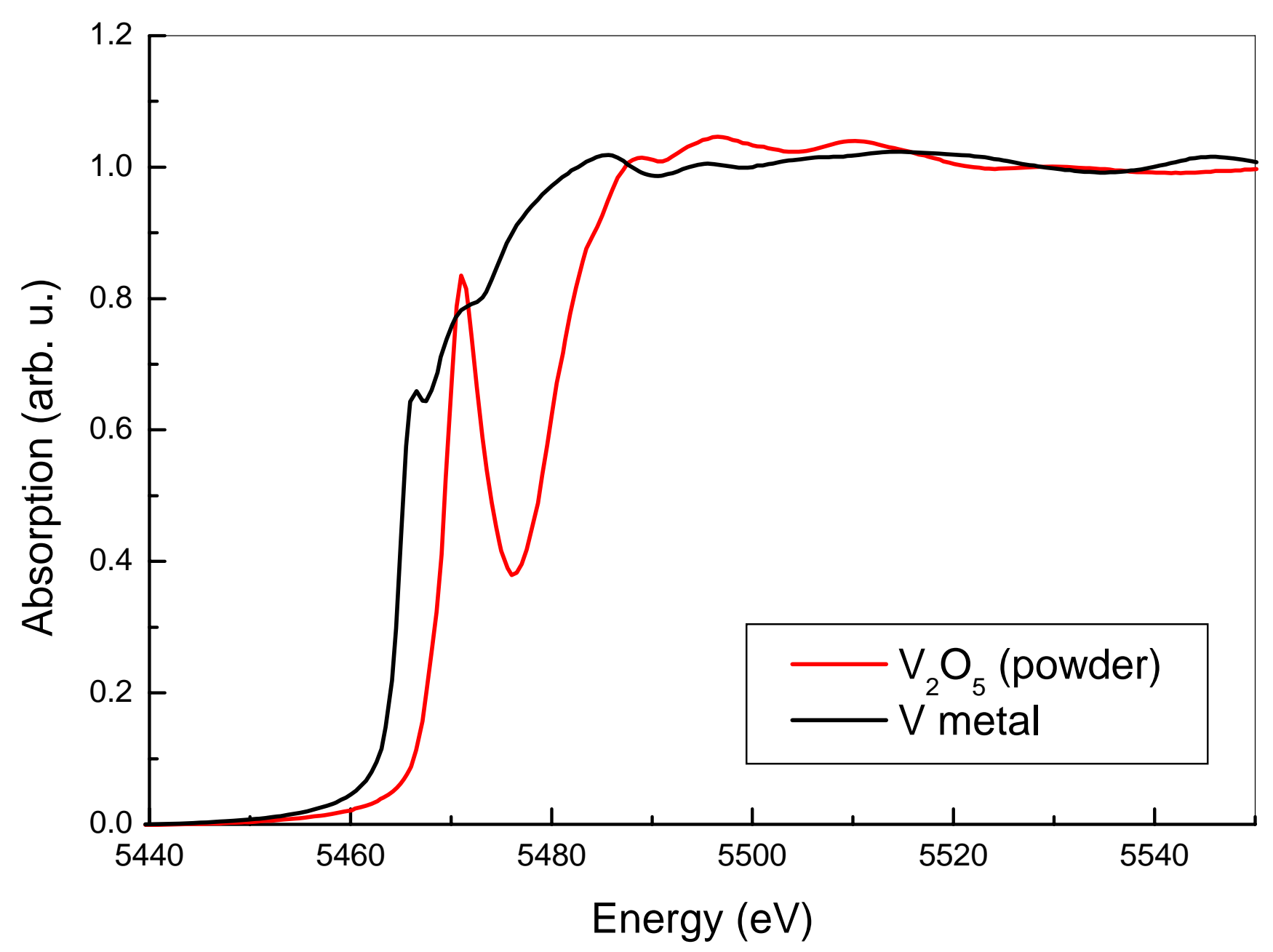


Número de coordenação e distâncias de ligação das amostras de referência.

	Primeira camada de coordenação			Segunda camada de coordenação		
Referência	Ligação	Distância de ligação (Å)	Número Coord.	Ligação	Distância de ligação (Å)	Número Coord.
a-SiO₂	Si-O	1.61 Å	N _{SiO} = 4	-	-	-
a-Si₃N₄	Si-N	1.73 Å	N _{SiN} = 4	-	-	-
β-SiC	Si-C	1.89 Å	$N_{siC} = 4$	Si-C-Si	3.08 Å	N _{siCSi} = 12
c-Si	Si-Si	2.35 Å	N _{SiSi} = 4	-	-	-

Raios X duros





Análise combinação de XANES e EXAFS com outras técnicas complementares